Модели атомных ядер

Модели атомных ядер.

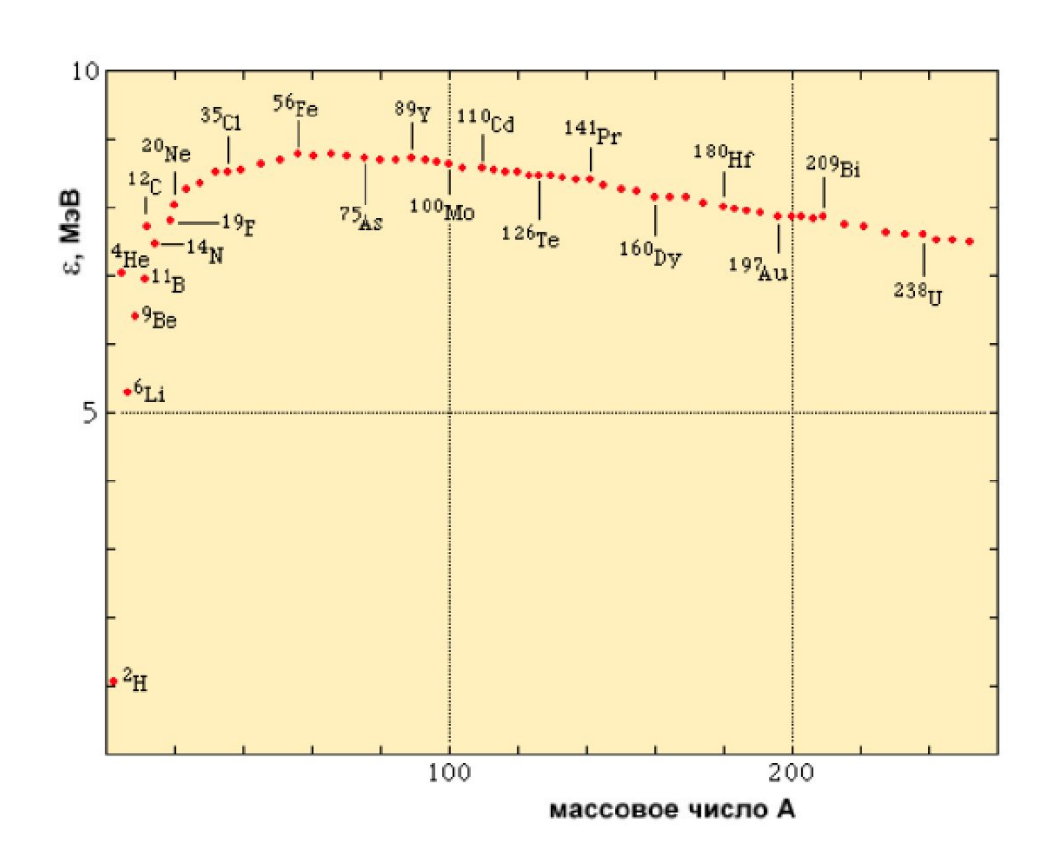
- □ Что мы ждём?
- Микроскопические и коллективные модели.
- Модель жидкой капли.
- □ Оболочечная модель.
- □ Модель Ферми-газа.
- □ Оптическая модель.

Что мы ждём?

- □ Стабильность ядер?
- □ Виды распадов?
- □ Энергии и угловые распределения частиц?
- □ Радиусы, массы, энергии связи?
- □ Спины, моменты, чётности?
- □ Энергетические уровни?
- □ Вероятности переходов?
- Сечения взаимодействия?
- □ Распространённость изотопов?

Физические обоснования моделей

- 1. Плотность ядерного вещества приблизительно постоянна: $\mathbf{R} = \mathbf{r}_0 \cdot \mathbf{A}^{1/3}, \, \rho \approx 0.17 \,$ нуклон/ферми³
- 2. Удельная энергия связи приблизительно постоянна



$$\varepsilon(A, Z) = \frac{W(A, Z)}{A}$$

Свойства 1 и 2 обусловлены природой ядерных сил, которые имеют конечный радиус действия и вызывают сильное взаимное притяжение нуклонов, находящихся друг от друга на расстоянии от ~2 ферми до ~0.5 ферми, но при уменьшении этого расстояния начинают действовать как очень сильные отталкивающие силы.

Коллективные модели

• в этих моделях предполагается, что взаимодействие между соседними нуклонами настолько велико, что степени свободы индивидуальных нуклонов можно не учитывать (капельная модель, макроскопические модели).

Физические обоснования моделей

• Средняя длина пробега нуклонов в ядре велика по сравнению с расстоянием между ними и превышает размеры ядра. Взаимодействие нуклонов приводит к возникновению среднего ядерного поля, в котором частицы движутся независимо друг от друга.

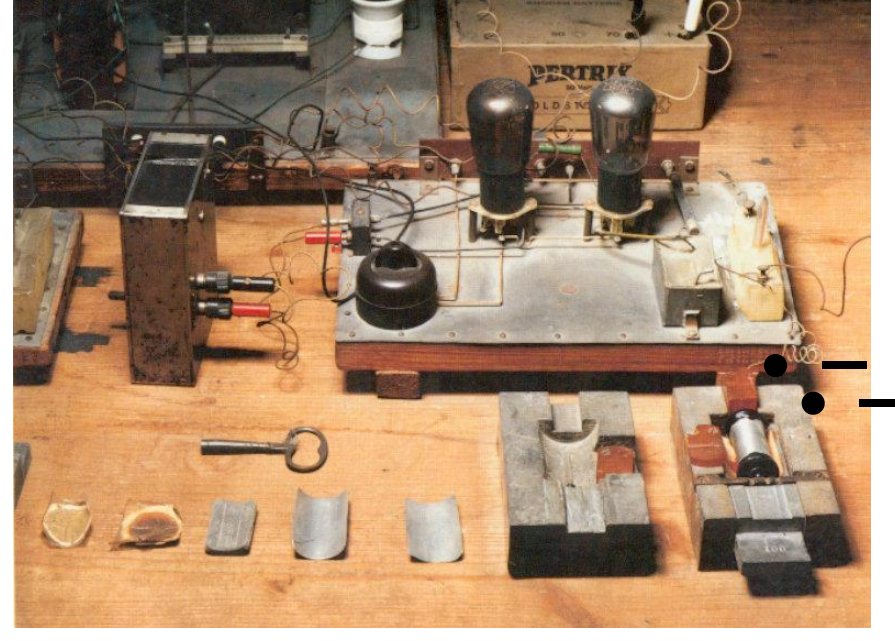
(модели независимых частиц, микроскопические модели)

Капельная модель

- Опыты Резерфорда по изучению α-радиоактивности 1911 год.
- $\bullet \mathbf{R} = \mathbf{r}_0 \cdot \mathbf{A}^{1/3},$
- $\rho_n = A/V = A/(4/3\pi R^3) \approx 10^{38}$ нуклон/см³,
- $\rho(\Gamma/cM^3) = \rho_n m_n \approx 10^{14} \, \Gamma/cM^3$

1934: поиск трансуранов

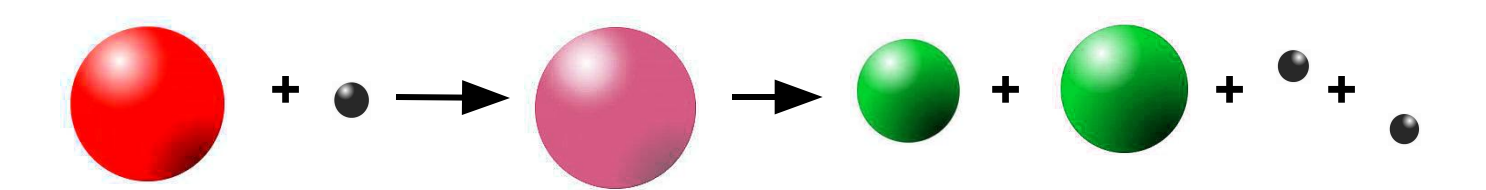


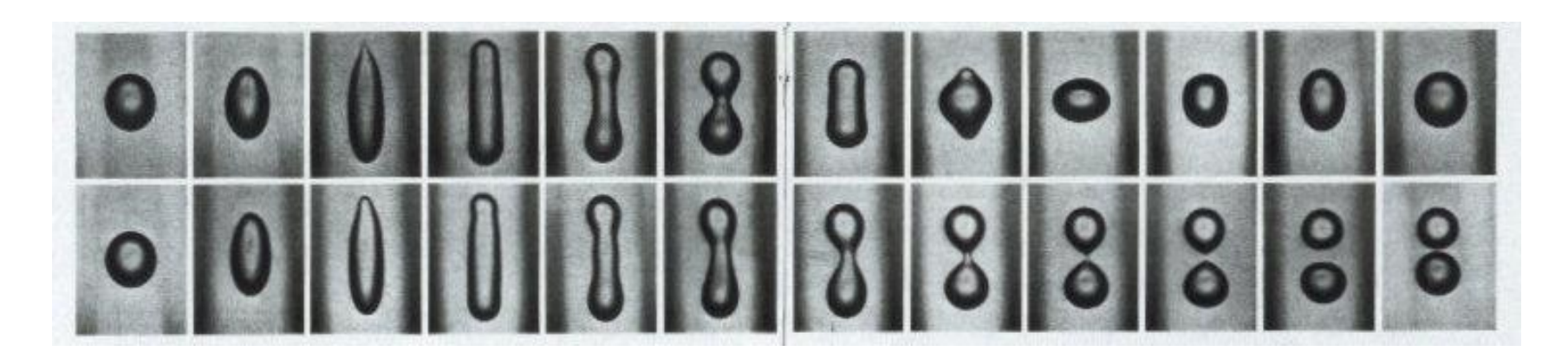


Otto Hahn und Lise Meitner

1938: открытие деления ядер

$$^{235}_{92}U + ^{1}_{0}n \longrightarrow ^{236}_{92}U^* \longrightarrow ^{90}_{36}Kr + ^{144}_{56}Ba + ^{1}_{0}n + ^{1}_{0}n$$





Модель жидкой капли

Формула Вайцзеккера

• Энергия связи ядра W(A,Z) – энергия, которая необходима для того, чтобы разделить ядро на отдельные составляющие его нуклоны.

$$\mathbf{W} \approx \alpha \mathbf{A}$$

• Нуклоны неравноценны

$$\mathbf{W} \approx \alpha \mathbf{A} - \beta \mathbf{A}^{2/3}$$

• Кулоновское расталкивание

$$\mathbf{W} \approx \alpha \mathbf{A} - \beta \mathbf{A}^{2/3} - \gamma \mathbf{Z}^2 / \mathbf{A}^{1/3}$$

«Некапельные» члены

• «Энергия симметрии»

$$-\delta (A/2 - Z)^2/A$$

• Эффекты чётности

$$\zeta A^{-3/4}$$

```
\zeta = +34 \text{ МэВ} - чётно-чётные ядра;
\zeta = 0 - нечётные ядра;
\zeta = -34 \text{ МэВ} - нечётно-нечётные ядра.}
```

Формула Вайцзеккера

$$W(A,Z) = \alpha A - \beta A^{2/3} - \gamma \frac{Z(Z-1)}{A^{1/3}}$$
$$- \delta \frac{(A-2Z)^2}{A} + \zeta A^{-3/4}$$

$$\alpha = 15.6 \text{ МэВ},$$

 $\beta = 17.2 \text{ МэВ},$
 $\gamma = 0.72 \text{ МэВ},$
 $\delta = 23.6 \text{ МэВ}.$
 $\zeta = +34 \text{ МэВ} - чётно-чётные ядра;}$
 $\zeta = 0 - нечётные ядра;$
 $\zeta = -34 \text{ МэВ} - нечётно-нечётные ядра.}$

Область применения

- Вычисление энергии связи с точностью ~10-4
- Вычисление масс ядер;
- Вычисление энергий отделения частиц;
- Вычисление энергий распадов;
- Колебания жидкости;
- Качественная теория деления ядер;
- Линия β-стабильности.

Недостатки

- Непоследовательность модели;
- Низкая точность;
- Качественный характер;
- Игнорирует периодичность.

Модель ферми-газа

- В этой модели рассматривается движение невзаимодействующих друг с другом нуклонов в области объемом V, в пределах которой потенциал считается постоянным,
- Волновые функции нуклонов плоские волны,
- В ограниченном объеме V возможен только дискретный набор значений вектора импульса, $\frac{1}{p} = \{ p_x, p_y, p_z \}$
- На каждом нейтронном (или протонном) уровне могут в соответствии с принципом Паули находится только два нейтрона (или протона), имеющие разные проекции спина,
- Граница, разделяющая заполненные и незаполненные одночастичные уровни, называется границей Ферми.

• Из статистики Ферми:

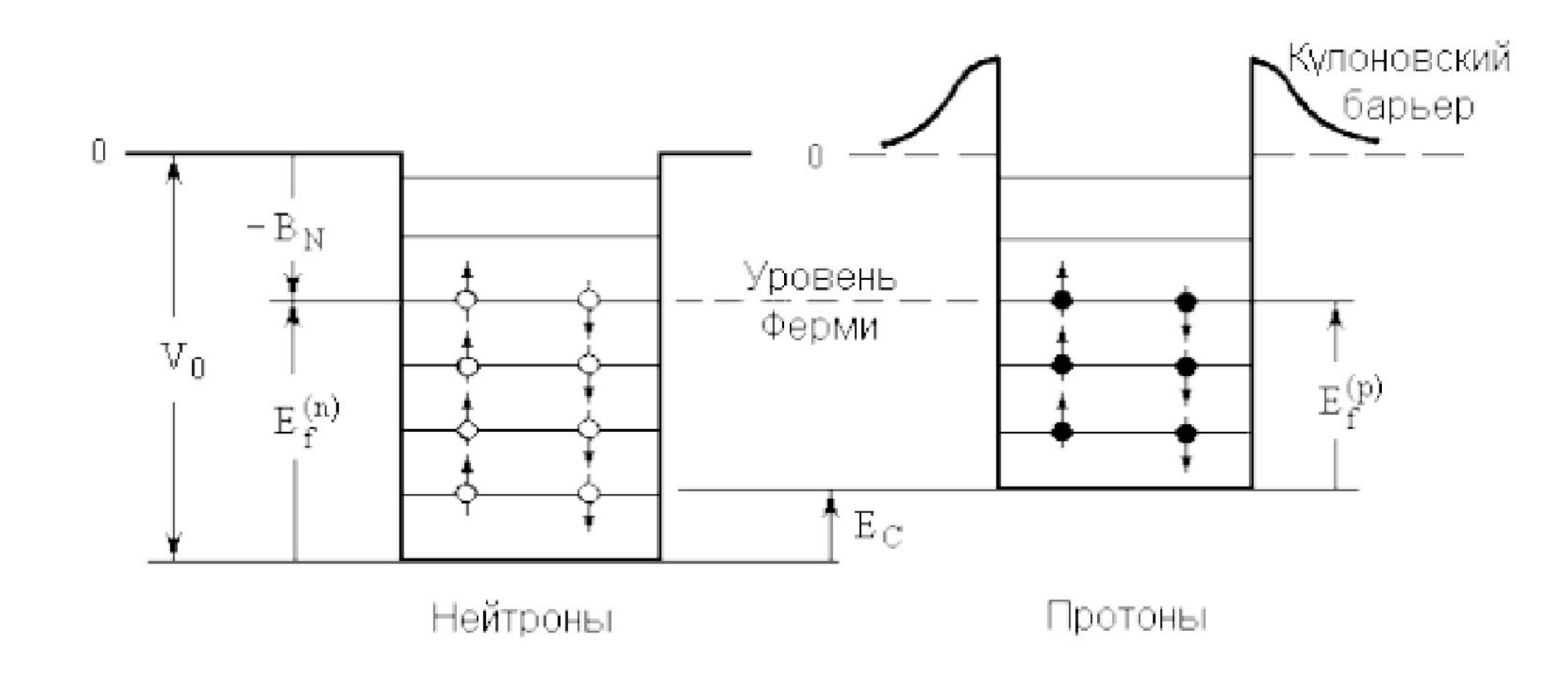
$$p_f^{\,(n)} = (3\,\pi^{\,2}\,\hbar^{\,3}N/V)^{1/3}, \;\; \text{if} \;\; p_f^{\,(p)} = (3\,\pi^{\,2}\,\hbar^{\,3}N/V)^{1/3} \; .$$

$$p_f = p_f^{(n)} = p_f^{(p)} = ((9 \pi \hbar)/(8r_0))^{1/3} = 8.1 \cdot 10^{-22} \text{ M} \ni \text{B} \cdot \text{c} / \text{ф} \text{ e p м и ,}$$

$$E_f^{(n)} = \frac{(p_f^{(n)})^2}{2m}, E_f^{(p)} = \frac{(p_f^{(p)})^2}{2m}$$

$$E_f = E_f^{(n)} = E_f^{(p)} = 32 \text{ M } \ni B.$$

Нейтронные и протонные одночастичные уровни энергии в модели ферми-газа.



Область применения

• В случаях, где важно движение нуклонов внутри ядра: рождение частиц, некоторые реакции.

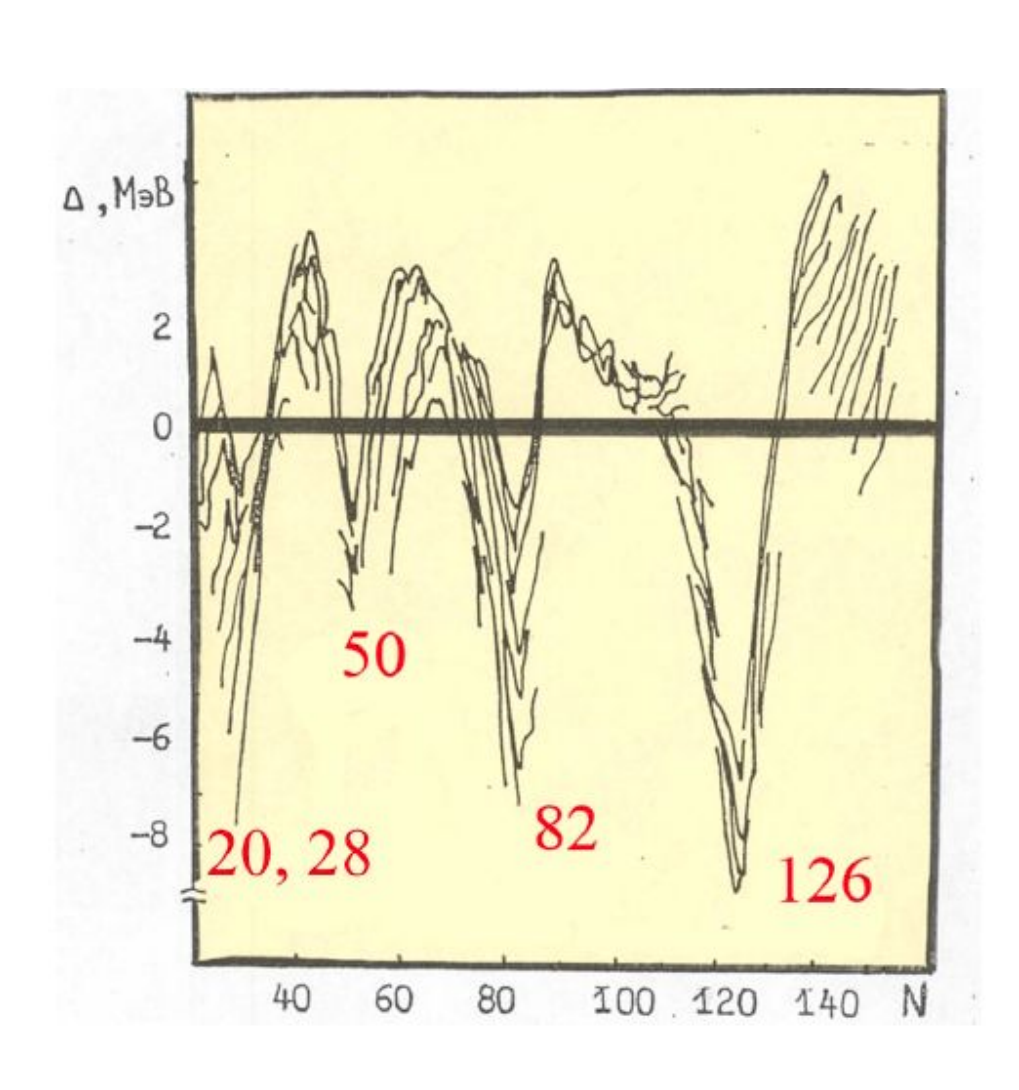
Оболочечная модель

• В модели оболочек предполагается, что нуклоны движутся независимо друг от друга в сферически-симметричной потенциальной яме. Собственные состояния нуклона в такой яме находят, решая соответствующее уравнение Шредингера.

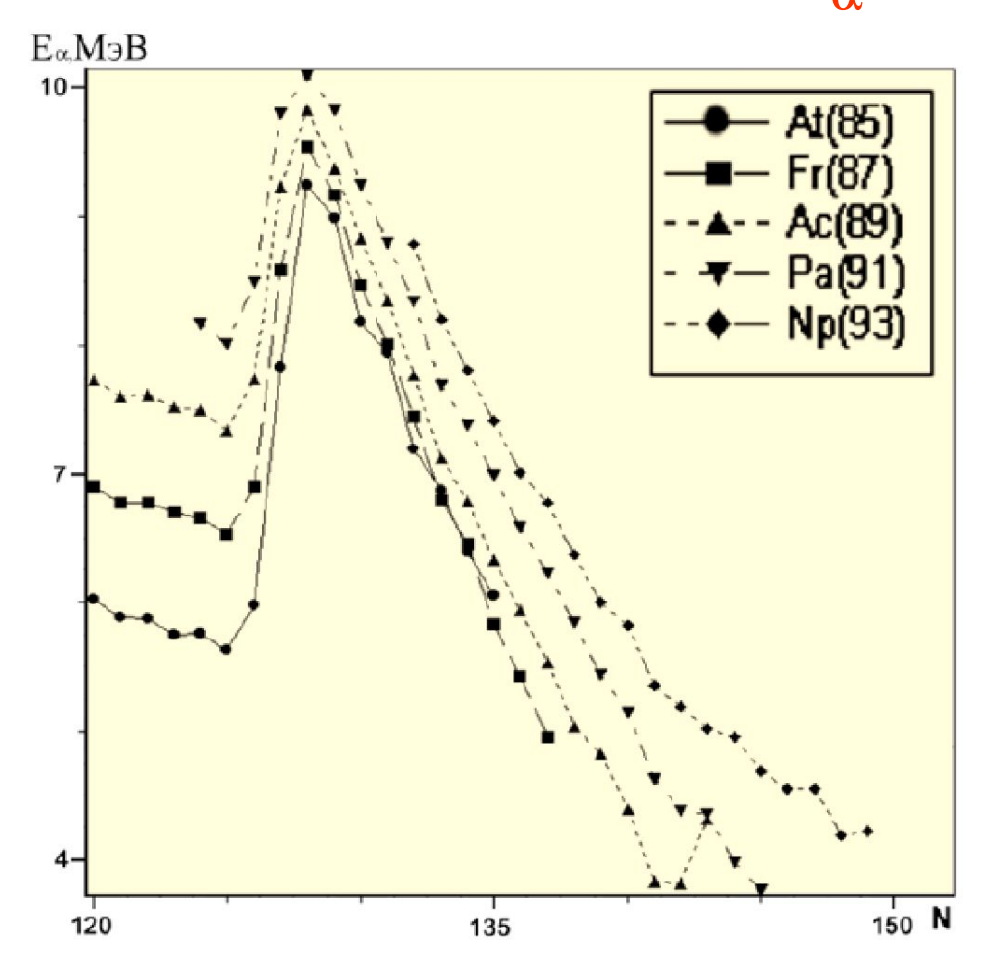
Обоснование модели

- Периодичность свойств;
- Магические числа: 2, 8, 20, 50, 82, 126;
- Нулевые квадрупольные моменты (сферичность ядер);
- Распространённость изотопов.

Энергии связи ядер

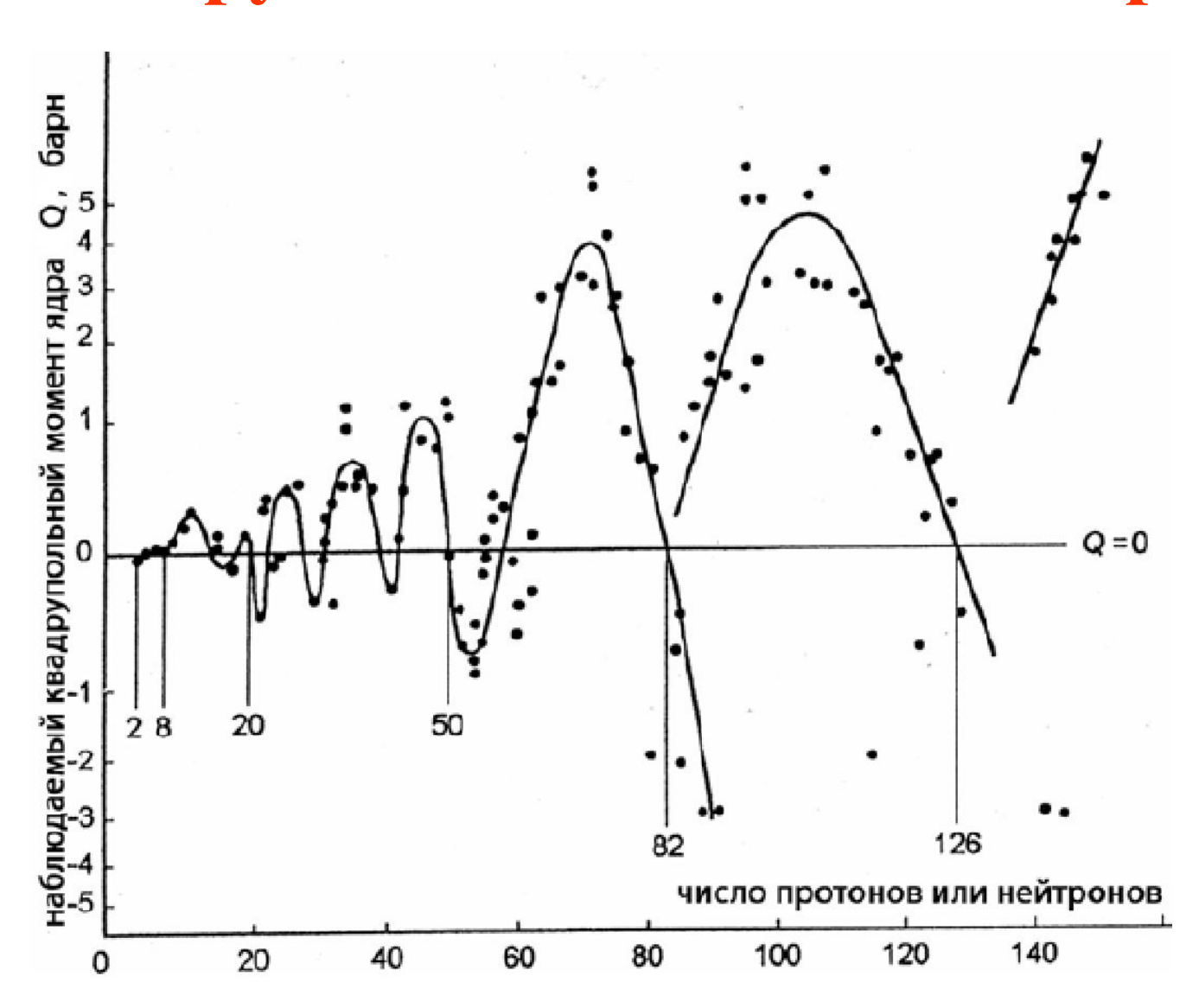


Энергия α -распада $Q_{\alpha}(A,Z)$

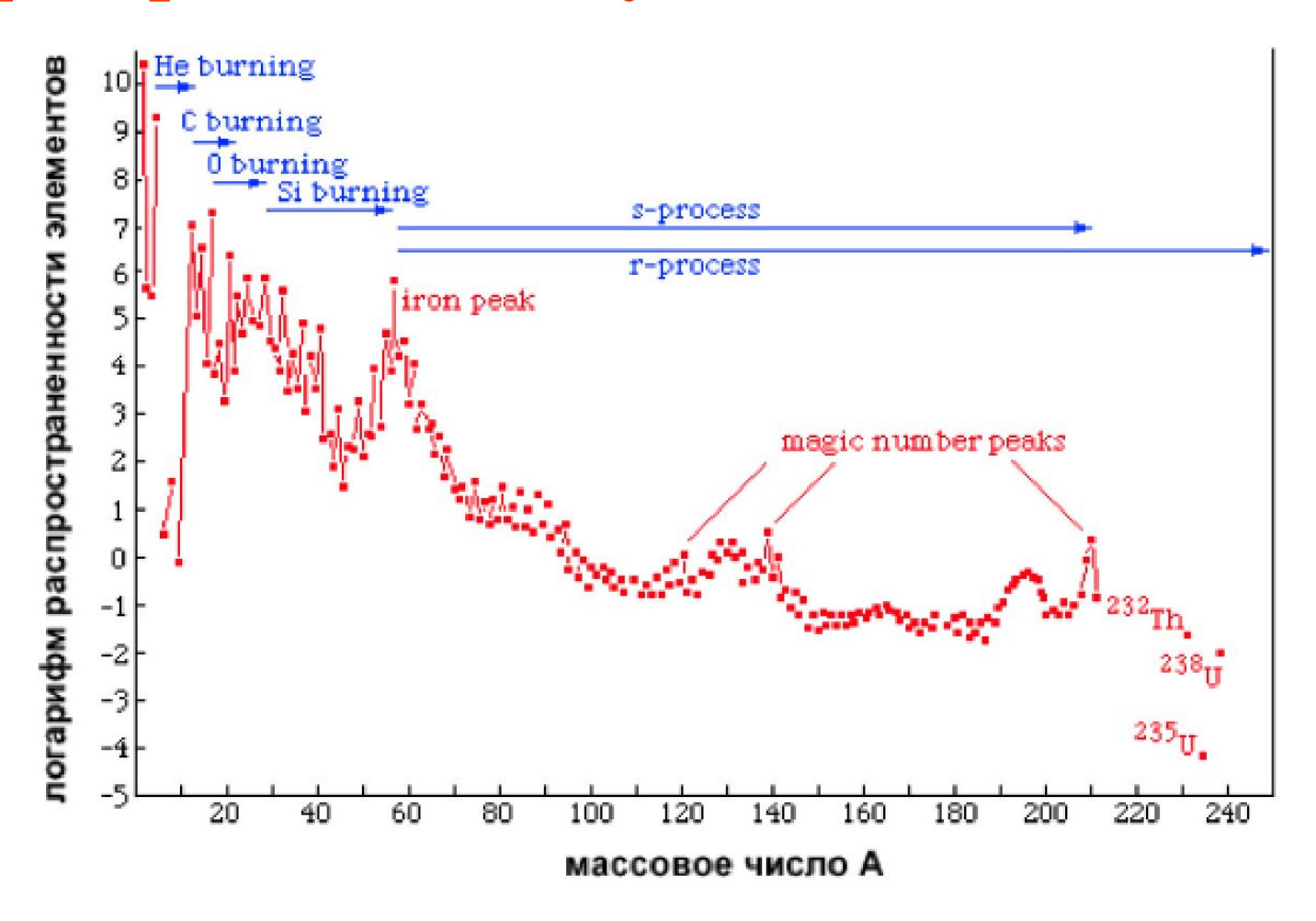


Зависимости энергии α -распада E_{α} изотопов $Z=85,\,87,\,89,\,91,\,93$ от числа нейтронов в ядре.

Квадрупольные моменты ядер

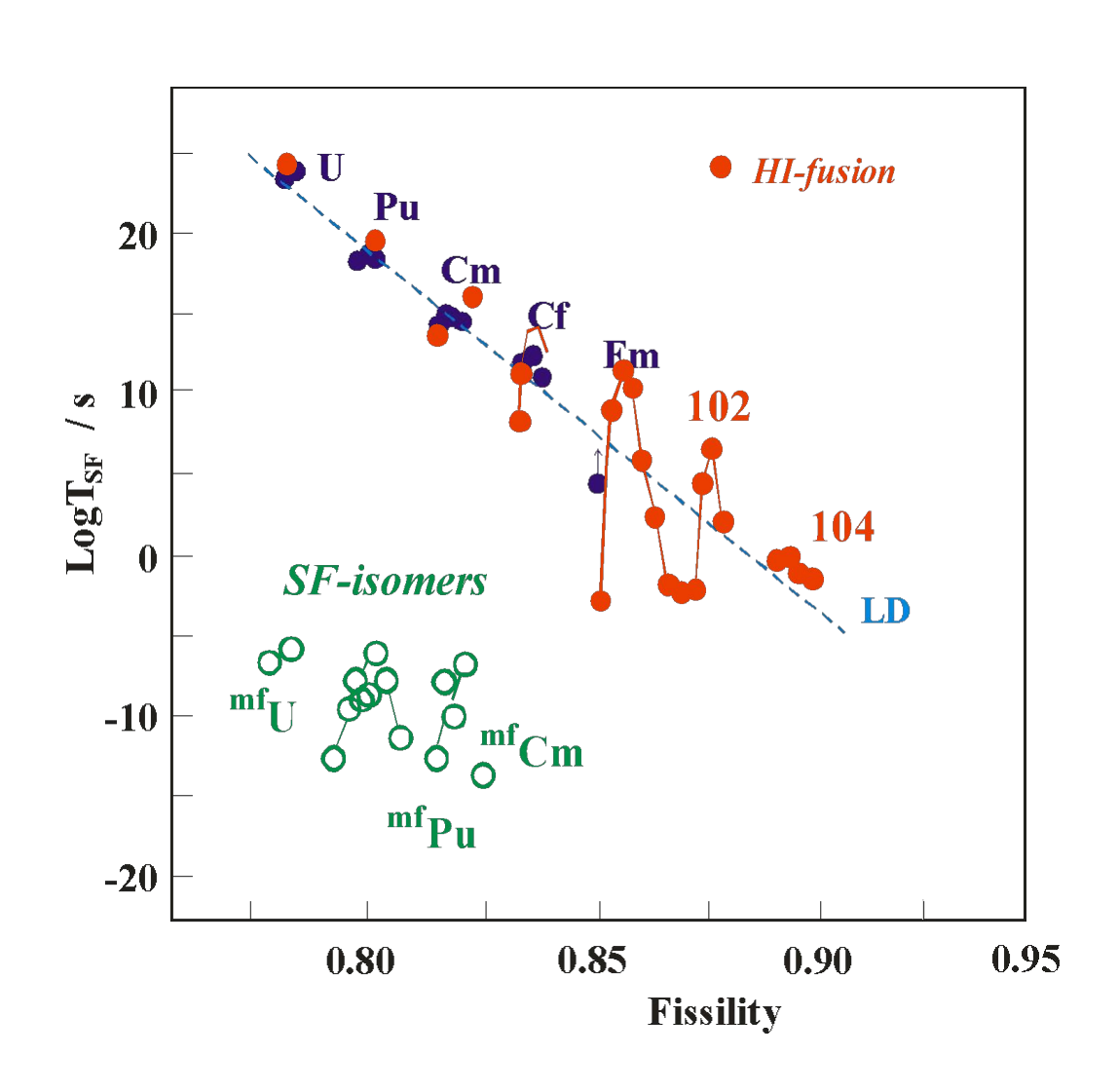


Распространённость нуклидов во Вселенной



Распространенность *Si* принята равной 10⁶.

Периоды полураспада актинидов



- Первые попытки: Бартлет (1932 г.) и Эльзассер (1933 г.): объяснили 2, 8, 20.
- Окончательный вид 1949 г: М. Гепперт-Майер и Дж. Иенсен.

Построение модели

- Принцип Паули выполняется.
- В атоме есть силовой центр и электроны слабо взаимодействуют между собой.
- В ядре нет силового центра, нуклоны сильно взаимодействуют между собой.

$$n \approx 10^{38}$$
 нукл/см³; $\sigma \approx 3 \cdot 10^{-25}$ см²; $\lambda = 1/(n\sigma) \approx 3 \cdot 10^{-14}$ см!!

Построение модели

- Малый радиус взаимодействия.
- Сложение эффектов от потенциальных ям.
- Большая плотность ядра → однородность потенциала.
- Принцип Паули → большая длина свободного пробега → отсутствие взаимодействия.

Основные положения:

- В сферическом потенциале движутся невзаимодействующие нуклоны.
- Потенциал одинаков для протонов и нейтронов.
- Орбитальный момент является интегралом движения.
- Выполняется принцип Паули (2(2l+1)).
- Решения уравнений Шредингера.

Ядерные потенциалы

В первом приближении можно считать ядерный потенциал сферически симметричным. В качестве потенциалов используют:

пямоугольную потенциальную яму V_{ng}

$$V_{ns}(r) = egin{cases} -V_0, & r \leq R, \ 0, & r \geq R. \end{cases}$$

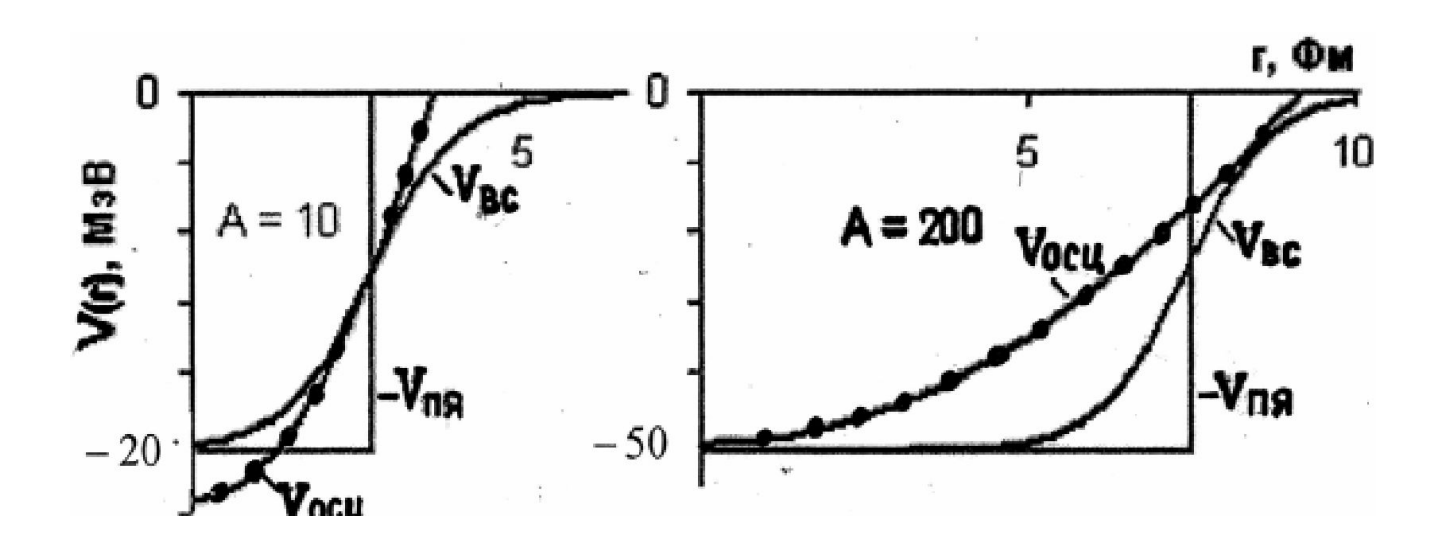
осцилляторный потенциал V_{ocu} ,

$$V_{ocu}(r) = -V_0 + \frac{1}{2}M\omega^2 r^2$$
,

потенциал Вудса-Саксона V_{BC} .

$$V_{BC}(r) = -\frac{V_0}{1 + e^{\frac{r-R}{a}}}.$$

Ядерные потенциалы

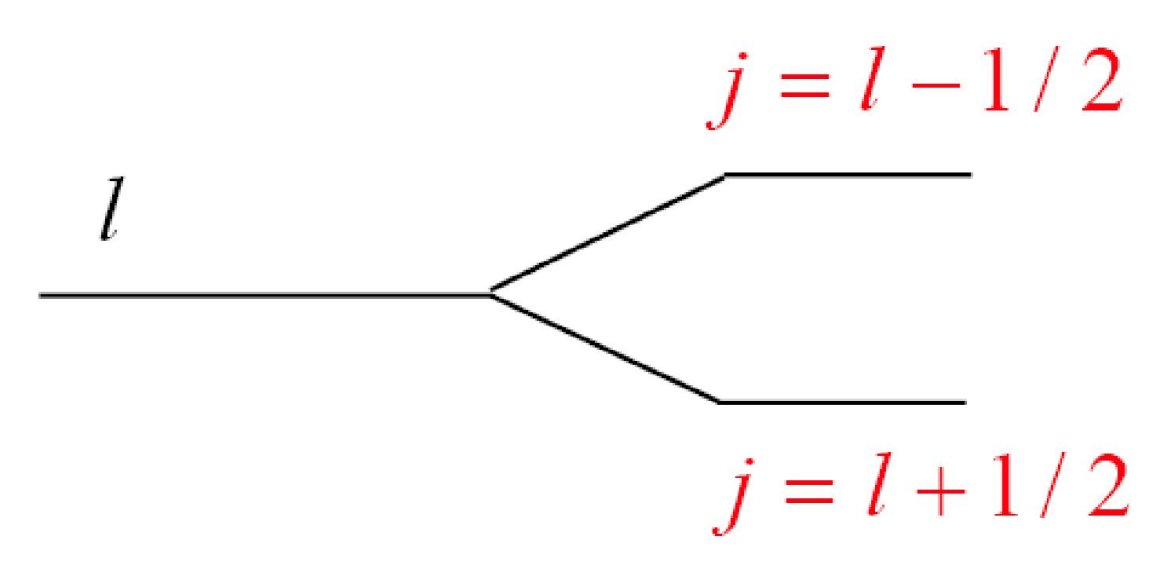


Магические числа в прямоугольной яме: 2, 8, 10, 20, 34, 40, 58, 68, 70, 92, 106, 112

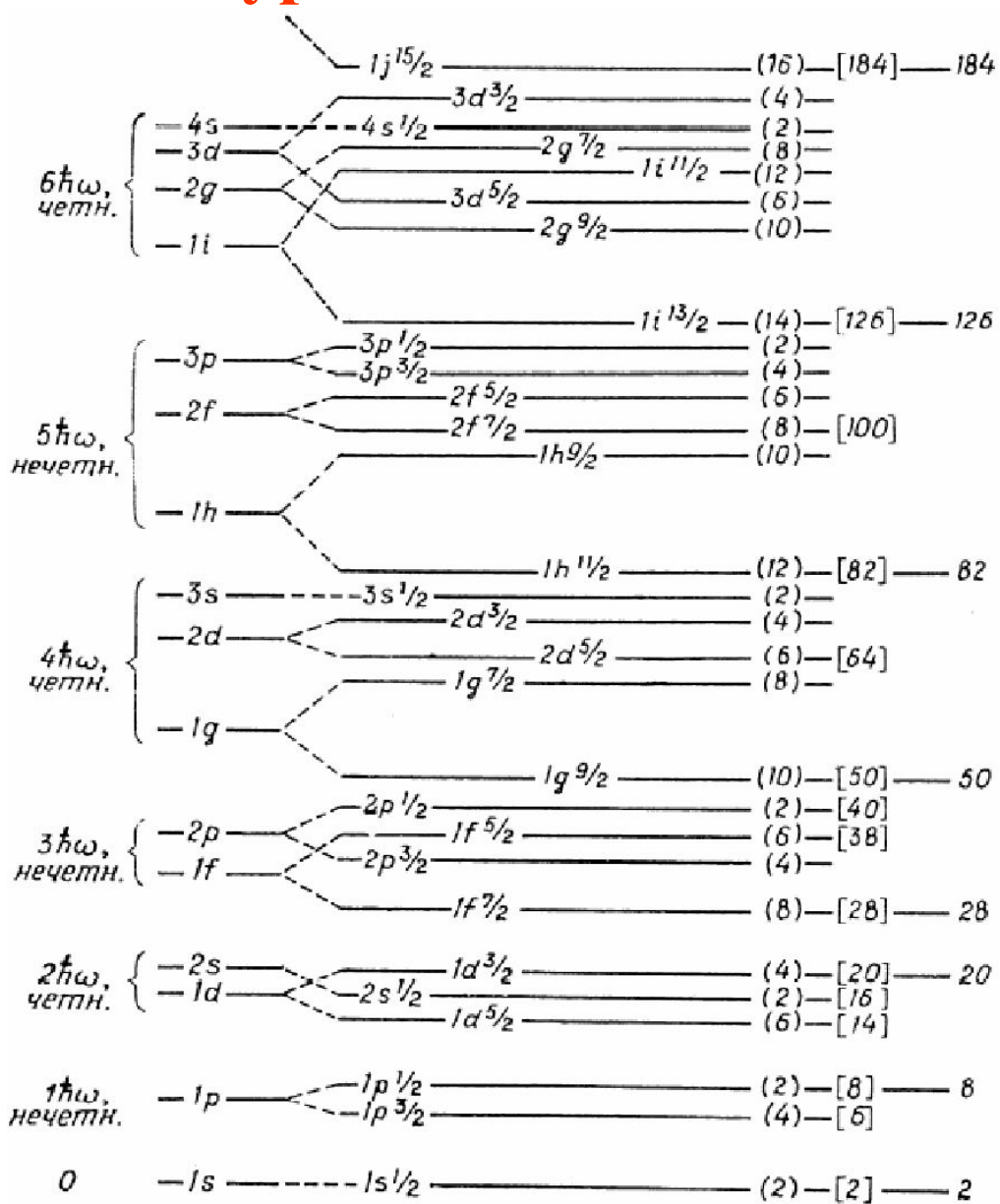
Необходимо вводить спин-орбитальное взаимодействие!

Спин-орбитальное взаимодействие

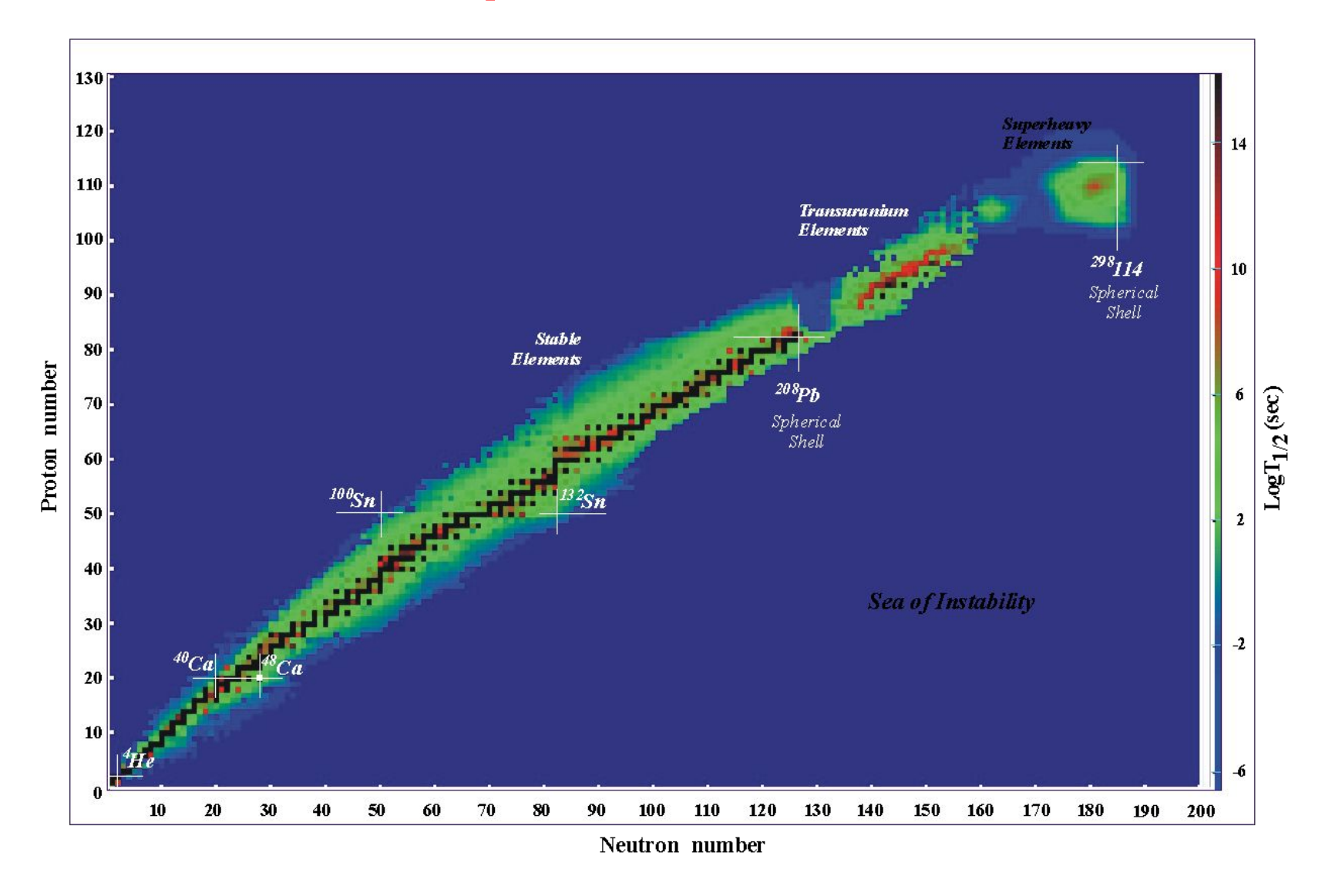
- Энергия состояния с данным I принимает два значения.
- Параллельной ориентации спина и момента соответствует большая энергия связи.
- Уровни с данным \mathbf{l} расщепляются на два $\mathbf{i} = \mathbf{l} \pm \frac{1}{2}$
- $np \rightarrow np_{1/2}$ и $np_{3/2}$
- $nd \rightarrow nd_{3/2}$ и $nd_{5/2}$



Одночастичные уровни в оболочечном потенциале



Карта изотопов



Недостатки оболочечной модели

- Объясняет немногие свойства ядер в основном состоянии.
- Неправильные значения спинов.
- Наличие вращательных уровней у чётночётных ядер.
- Заниженные значения электрических квадрупольных моментов.
- Заниженные вероятности Е2 переходов.

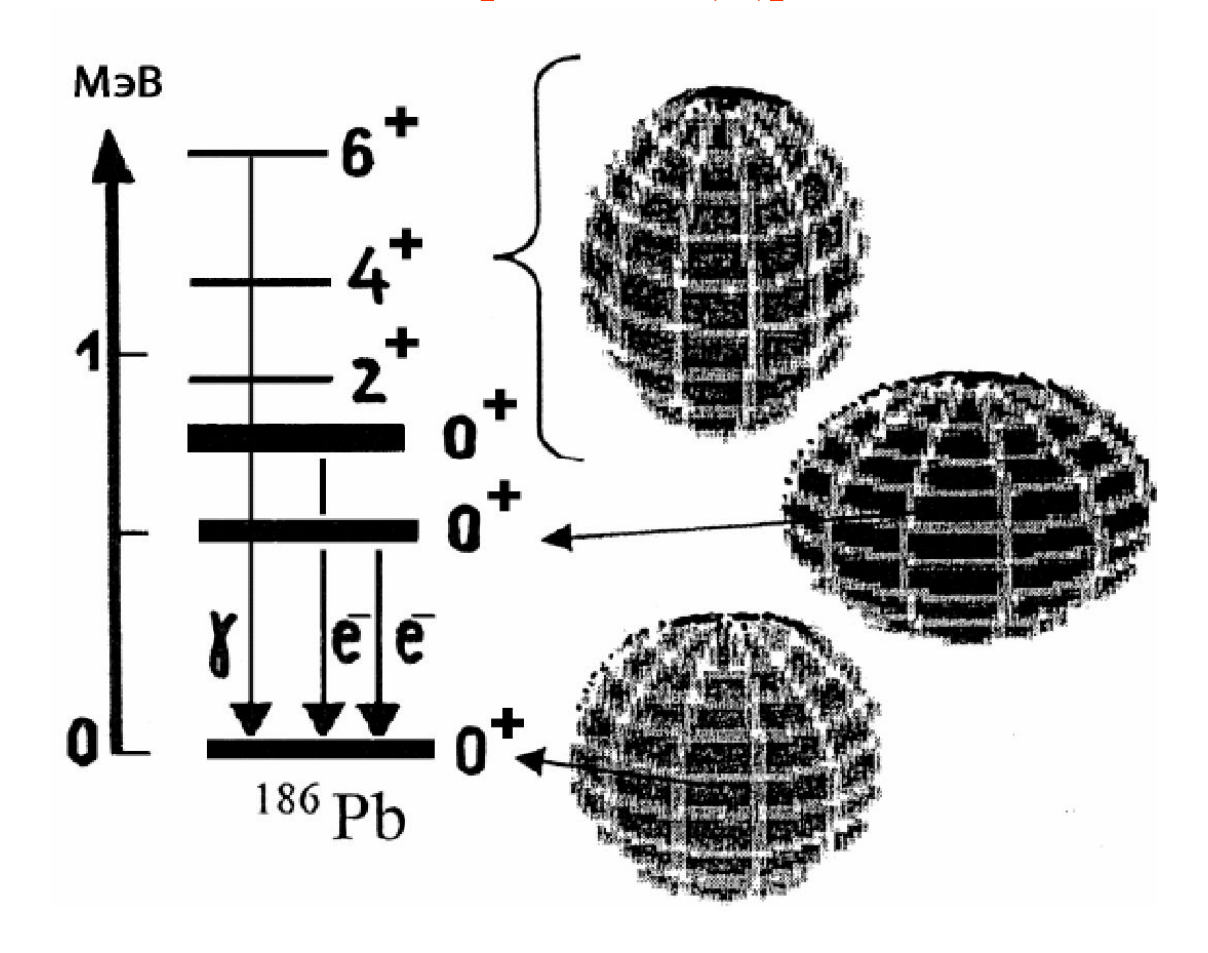
Недостатки оболочечной модели

- Объясняет немногие свойства ядер в основном состоянии.
- Неправильные значения спинов.
- Наличие вращательных уровней у чётночётных ядер.
- Заниженные значения электрических квадрупольных моментов.
- Заниженные вероятности Е2 переходов.

Обобщённая модель ядра

- Потенциал не является жёстким.
- Взаимодействие определяется числом нуклонов сверх замкнутой оболочки.
- Центробежное давление на стенки ядра.
- Деформация ядер в основном состоянии.
- Появление вращательных степеней свободы.
- Перестройка остова ядра.
- Связь всех степеней свободы.

Форма ядра



Форма атомных ядер может изменяться в зависимости от того, в каком возбужденном состоянии оно находится. Например, ядро ¹⁸⁶Pb в основном состоянии (0+) сферически симметрично, в первом возбужденном состоянии 0+ имеет форму сплюснутого эллипсоида, а в состояниях 0+,2+, 4+,6+ форму вытянутого эллипсоида.

Одночастичные состояния в деформированных ядрах

• Аксиально-симметричный потенциал гармонического осциллятора – *потенциал Нильссона*.

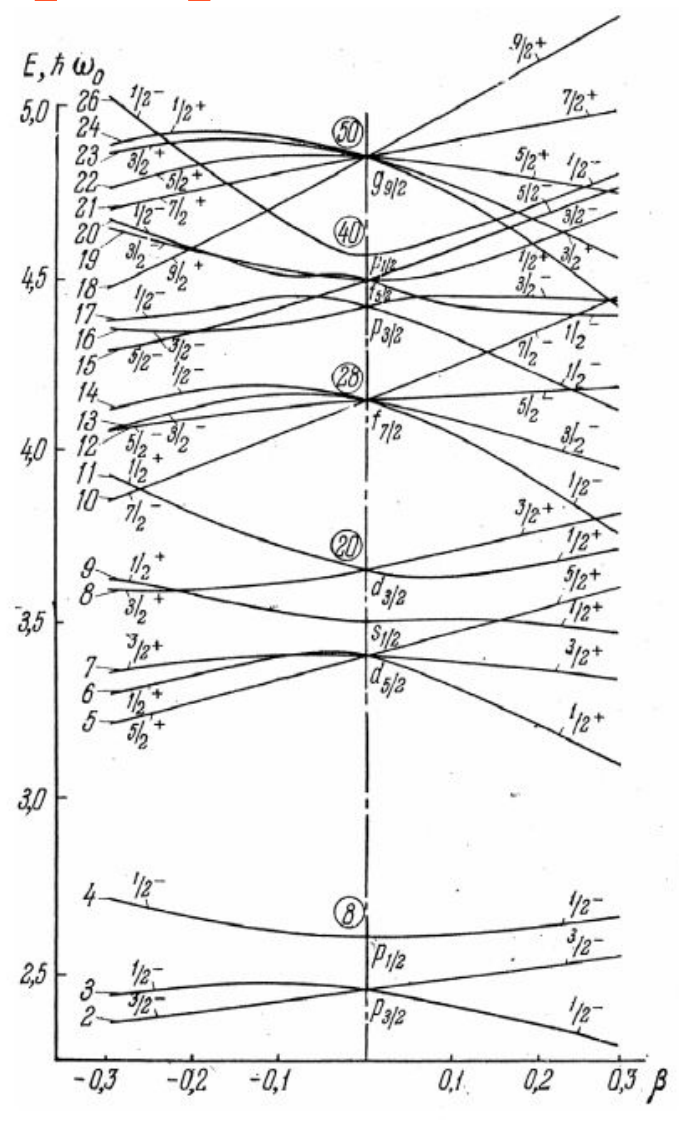
$$V_{\mathit{Hwisc}}(\vec{r}) = \frac{1}{2} M \Big[\omega_{xy}^2 (x^2 + y^2) + \omega_z^2 z^2 \Big] + C \vec{l} \vec{s} + D \vec{l}^2,$$

 Положение одночастичных уровней в потенциале Нильссона зависит от величины и знака параметра деформации β.

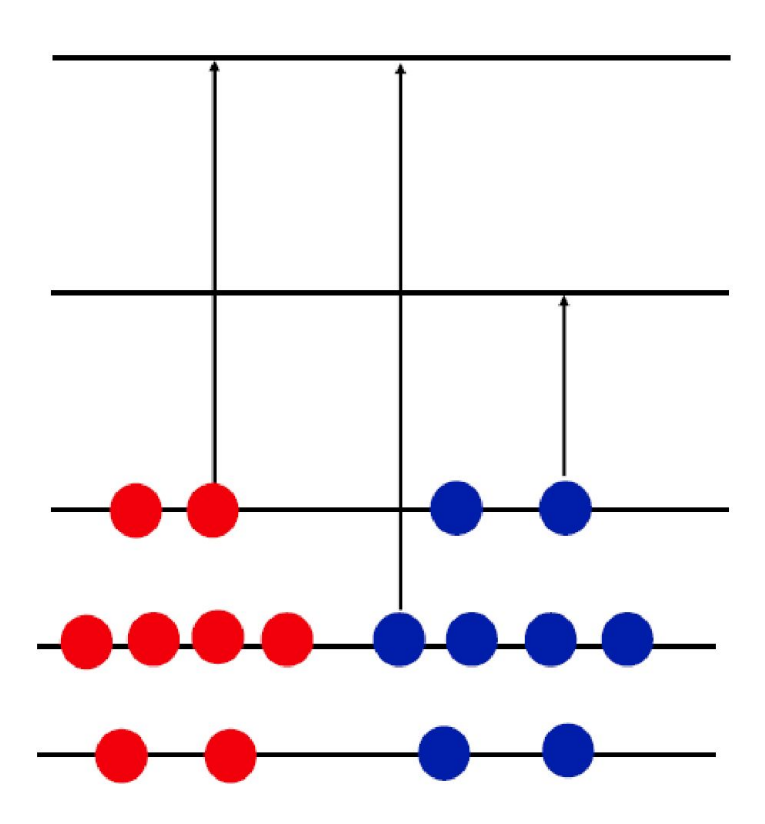
$$\omega_z = \omega_0 \left(1 + \frac{2}{3} \beta \right), \qquad \omega_{xy} = \omega_0 \left(1 + \frac{1}{3} \beta \right).$$

- В сферически-симметричной потенциальной яме состояния нуклона характеризуются квантовыми числами орбитального / и полного моментов $j = 1 \pm \frac{1}{2}$, причем уровни вырождены по проекции момента j на ось z, т.е. кратность вырождения равна 2j + 1.
- В деформированном ядре состояния нуклона нельзя характеризовать квантовыми числами / и ј. Однако так как сохраняется симметрия относительно поворотов вокруг оси z (аксиальная симметрия), то момент количества движения, создаваемый нуклоном, характеризуют квантовым числом К проекции момента j на ось симметрии z.

Одночастичные состояния в деформированных ядрах



Одночастичные возбуждения атомных ядер

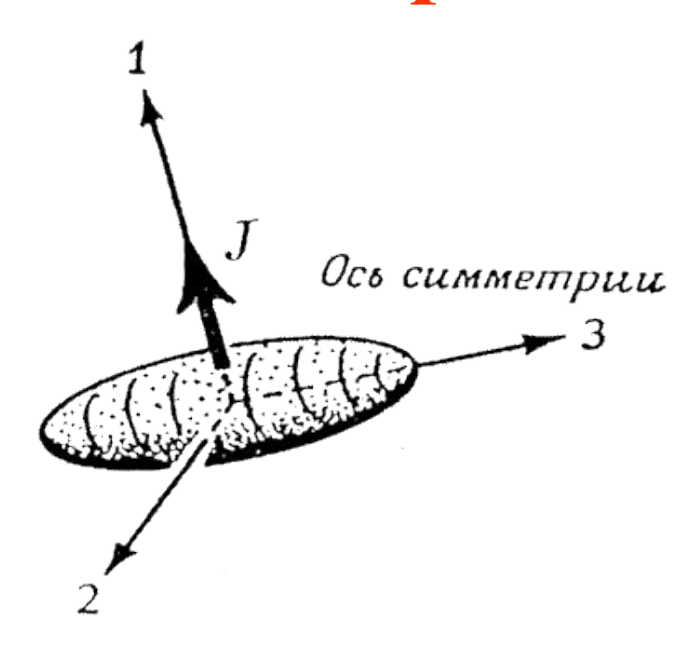


Одночастичные возбуждённые состояния ядер возникают при переходе одного или нескольких нуклонов на более высокие одночастичные орбиты.

Вращательные состояния ядер

- Сферически-симметричное ядро не может иметь вращательной энергии.
- Если равновесная форма ядра не сферична (деформирована), то появляется пространственная анизотропия, а вместе с ней и вращательные степени свободы.
- Такое ядро обязательно имеет внутренний электрический квадрупольный момент Q_□.

Аксиально-симметричный ротатор



- Форма ядра эллипсоид вращения.
- Асиально-симметричное ядро не может вращаться вокруг оси симметрии.
- Частота вращения ядра как целого мала по сравнению частотами внутреннего движения: $\omega_{\text{враш}} << \omega_{\text{внутр}}$
- Пренебрегают кориолисовыми и центробежными вращательными силами
- Рассматривают только коллективные переменные (углы поворота).

Сложение моментов

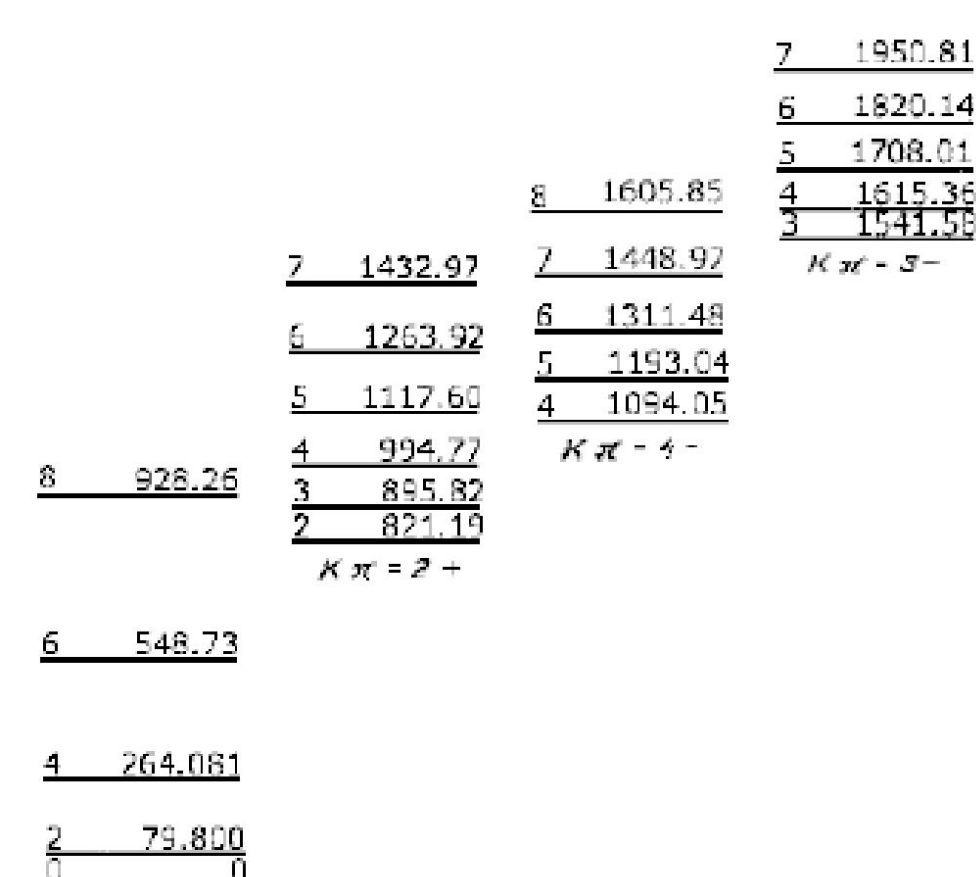
• Полный момент количества движения ядра складывается из коллективного вращательного момента ядра и внутреннего момента нуклонов $I = K + \Omega$

$$E_{\text{вращ}} = \Omega^2 / 2J_{9\phi\phi} = (I^2 - K^2) / 2J_{9\phi\phi} = \hbar^2 / 2J_{9\phi\phi} [I(I+1) - K(K+1)]$$

При K=0:
$$E_{\text{вращ}} = \hbar^2 I(I+1) / 2J_{9\phi\phi}$$
, I=0, 2, 4, 6

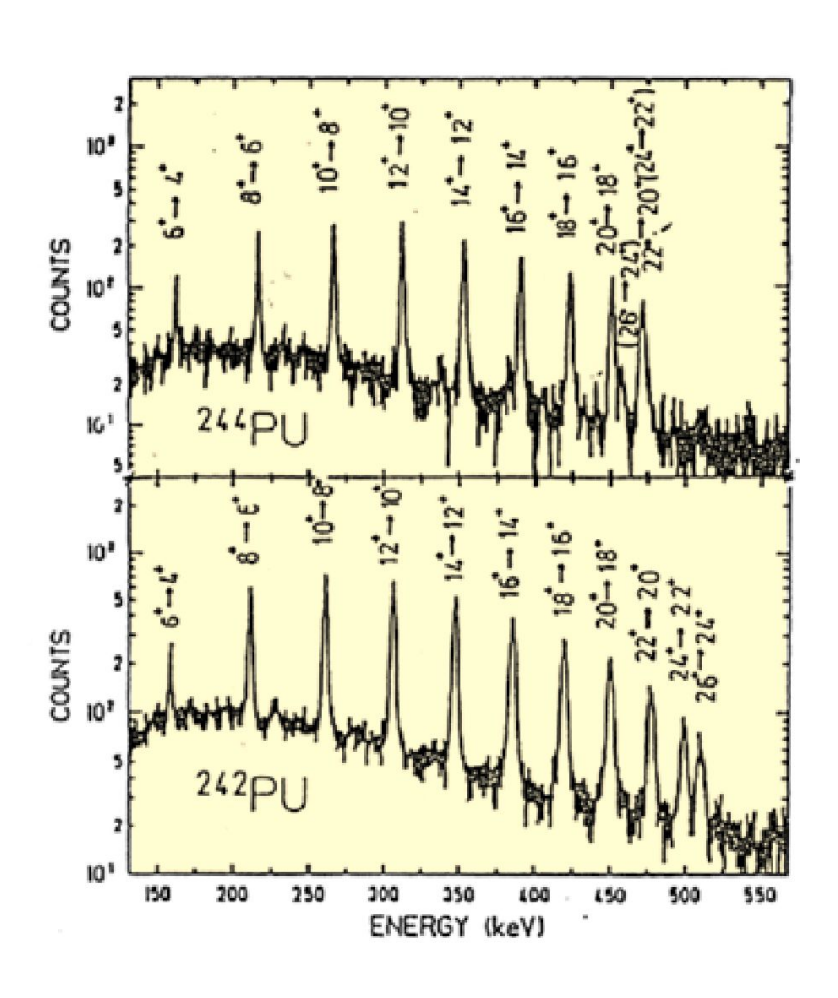
$$J_{9\phi\phi} = J_0 (\Delta R/R)^2$$

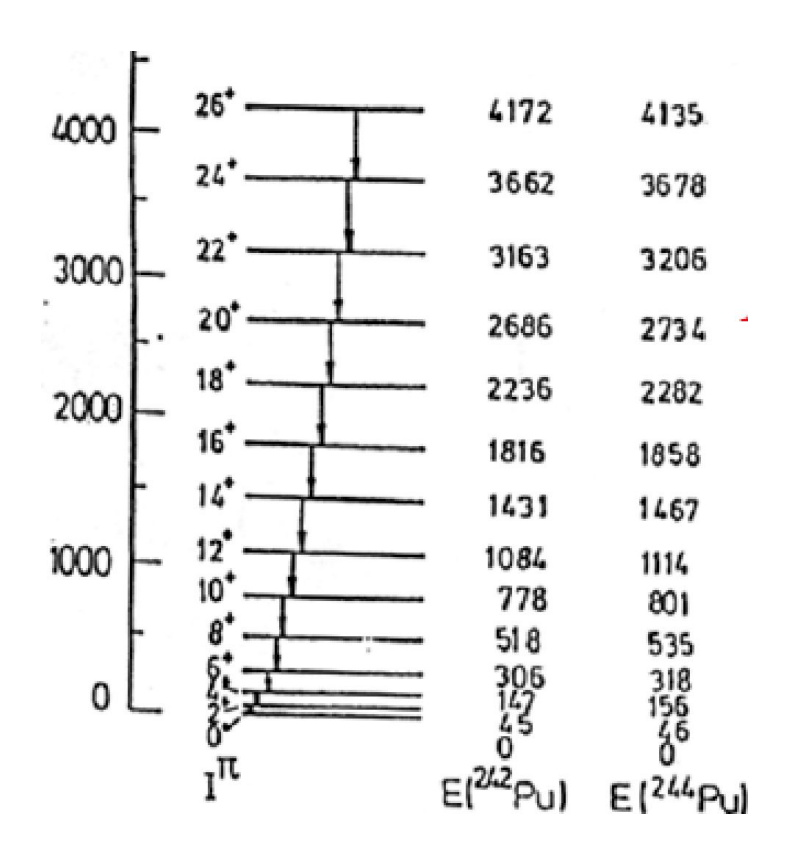
Энергетические уровни ¹⁶⁸Er



 $K\pi=0+$

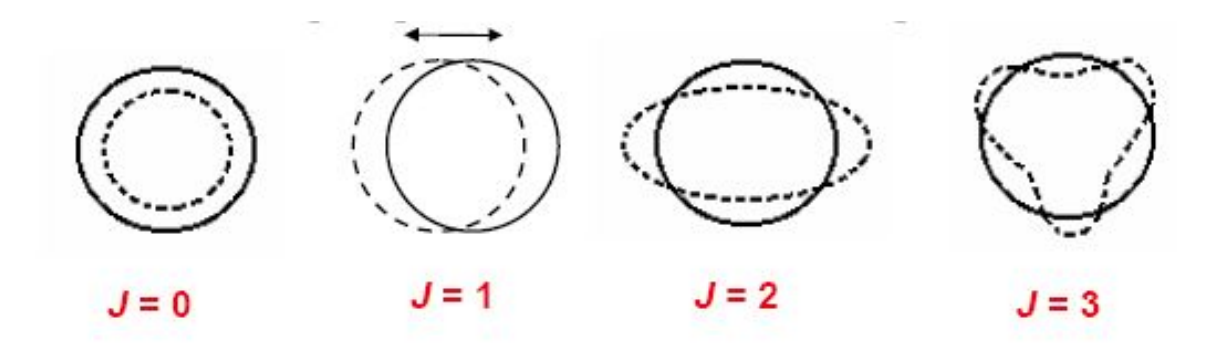
Вращательные спектры





$$E_J = \frac{\hbar^2}{2J}J(J+1)$$

Колебательные состояния ядер



монопольные дипольные квадрупольные октупольные

Энергии квадрупольных и октупольных возбуждений в квантовой теории могут принимать дискретные значения

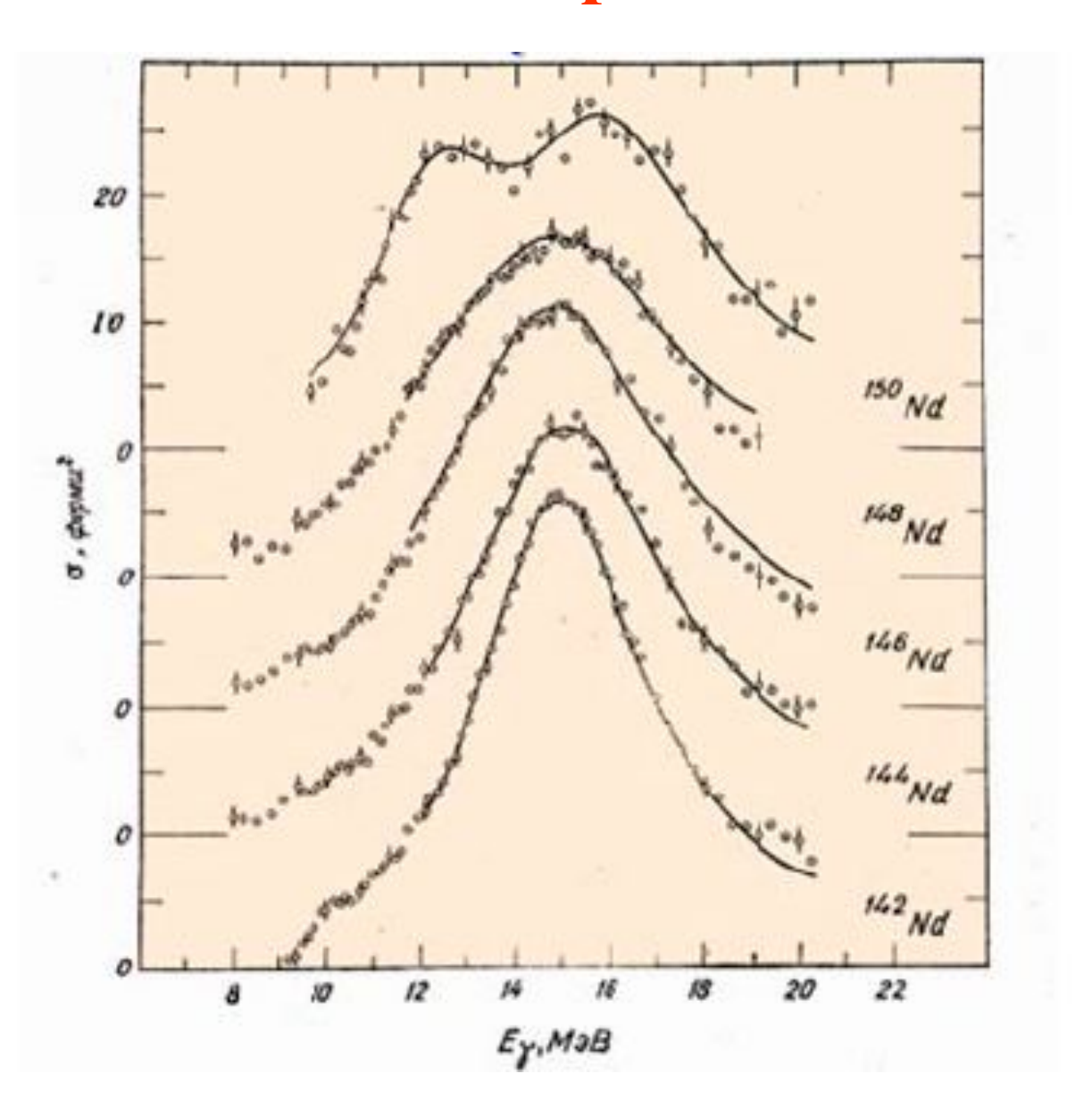
$$E_{\kappa 6a\partial p} = n_2 \hbar \omega_2, \quad E_{o\kappa m} = n_3 \hbar \omega_3,$$

Энергия возбуждения ядра, в котором одновременно происходят различные поверхностные колебания формы, имеет вид

$$\mathbf{E} = \sum_{J \ge 2} n_J \hbar \omega_J$$

 n_J – число фононов определенного типа, $\hbar\omega_J$ – энергия фонона.

Гигантские резонансы



Массы нейтральных атомов в атомных единицах массы: 16 O — 15,9949, 15 O — 15,0030, 15 N — 15.0001. Чему равны энергии отделения нейтрона и протона в ядре 16 O?

Энергия отделения нейтрона

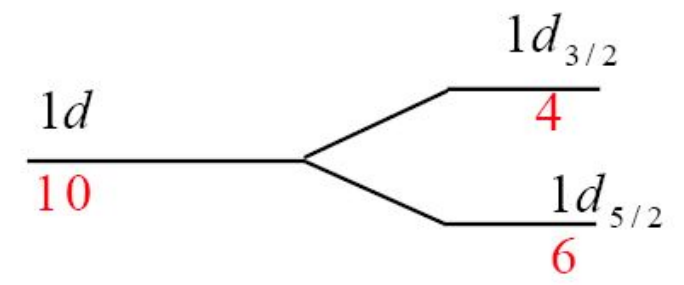
$$\varepsilon_n(A,Z)=m_n+M(A-1,Z)-M(A,Z)\,,$$
 протона —
$$\varepsilon_p(A,Z)=m_p+M(A-1,Z-1)-M(A,Z)\,.$$

В обеих формулах массы должны быть в энергетических единицах.

Для ядра ¹⁶О

$$\varepsilon_n = 939,6 \text{ MэВ} +$$
+ $(15,0030 \text{ a.e.м.} - 15,9949 \text{ a.e.м.}) \times 931,5 \text{ МэВ} = 15,6 \text{ МэВ};$
 $\varepsilon_p = 938,3 \text{ МэВ} +$
+ $(15,0001 \text{ a.e.м.} - 15,9949 \text{ a.e.м.}) \times 931,5 \text{ МэВ} = 11,6 \text{ МэВ}.$

Определить число частиц одного типа в состояниях 1d,1d_{3/2}1d_{5/2}



$$d \rightarrow l = 2$$

$$N(l=2) = 2(2l+1)=10$$

 $N(j=5/2) = 2j+1=6$
 $N(j=3/2) = 2j+1=4$

В состоянии 1d может находится 10 протонов и 10 нейтронов.

В состоянии 1d_{3/2},может находится 4 протона и 4 нейтрона.

В состоянии 1d_{5/2},может находится 6 протонов и 6 нейтронов.

Полное число нуклонов в состоянии 1d равно суммарному числу нуклонов в состояниях 1d_{3/2} и 1d_{5/2}

Известно, что внутренний электрический квадрупольный момент Q_0 ядра ¹⁷⁵Lu равен +5,9 Φ м². Какую форму имеет это ядро? Чему равен параметр деформации этого ядра?

Для равномерно заряженного аксиально симметричного эллипсоида, имеющего заряд Ze $Q_0 = \frac{2}{5}Z(b^2-a^2)$, где b — полуось эллипсоида, направленная по оси симметрии z, а a — по осям x и y. Параметр деформации ядра $\beta = \frac{1}{2}\frac{b^2-a^2}{\overline{R}^2}$, где $\overline{R} = \frac{(b+a)}{2}$ — средний радиус ядра. Тогда $\beta = \frac{5}{4}\frac{Q_0}{Z\left(r_0A^{1/3}\right)^2} = \frac{5\times5,9}{4\times71\times(1,2\times175^{1/3})^2} = 0,002$.

Здесь учтено, что при малых деформациях $\overline{R} \approx R = r_0 A^{1/3}$. Так как $Q_0 > 0$, то b > a, и ядро представляет из себя эллипсоид вытянутый вдоль оси симметрии z.

Показать, что спектр возбужденных состояний деформированного ядра ¹⁸⁰Нf представляет собой «вращательную полосу».

1079 ————— 8^t

Для четно-четных деформированных ядер энергия

деформированных ядер энергия вращательных состояний

$$E = \frac{\hbar^2 J(J+1)}{2I},$$

J — спин состояния, который принимает лишь четные значения J=0,2,4,...,

I — момент инерции ядра. Отношение энергий уровней должно быть следующим:

$$\begin{split} E_{2^+}: E_{4^+}: E_{6^+}: E_{8^+} &= \\ &= J_{2^+}(J_{2^+}+1): J_{4^+}(J_{4^+}+1): J_{6^+}(J_{6^+}+1): J_{8^+}(J_{8^+}+1) = \\ &= 2(2+1): 4(4+1): 6(6+1): 8(8+1) = 3: 10: 21: 36. \end{split}$$

Подставим приведенные на рисунке значения энергий и получим:

$$E_{2^{+}}: E_{4^{+}}: E_{6^{+}}: E_{8^{+}} = 93:307:637:1079 =$$

$$= \frac{93}{31}: \frac{307}{31}: \frac{637}{31}: \frac{1079}{31} = 3:9,90:20:55:34,81.$$

Полученные отношения, а также отсутствие в спектре в спектре уровней с J=1,3,5,... указывают, что это «вращательная полоса» ядра.

Задание на дом от 22.03.2012

- Используя формулу Вайцзеккера, найти условие, связывающее А и Z для β-стабильных ядер.
- 2. Оценить вклад различных слагаемых $W_{\text{объём}}$, $W_{\text{пов}}$, $W_{\text{кулон}}$, $W_{\text{симм}}$, $W_{\text{пар}}$ в энергию связи ядер ^{16}O и ^{208}Pb .
- 3. Вычислите энергию, высвобождаемую при делении ядра ²³⁸U на два одинаковых осколка.